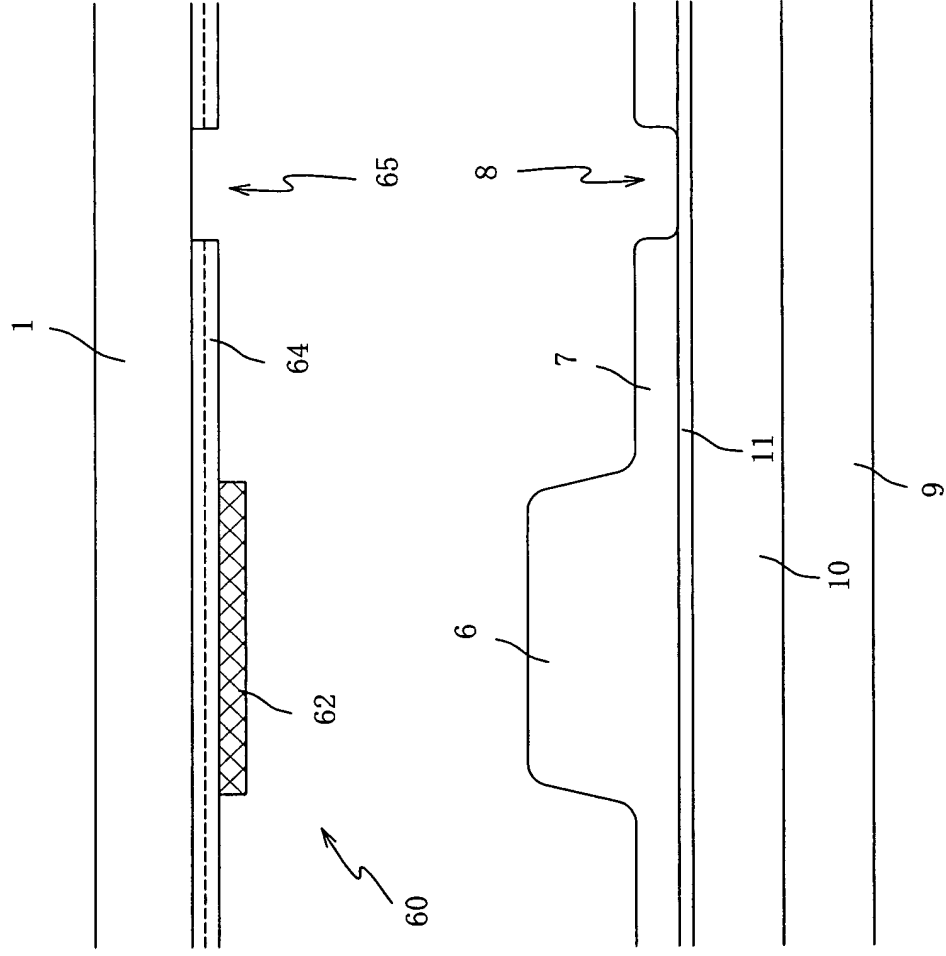




Fig. 2



F i g . 3

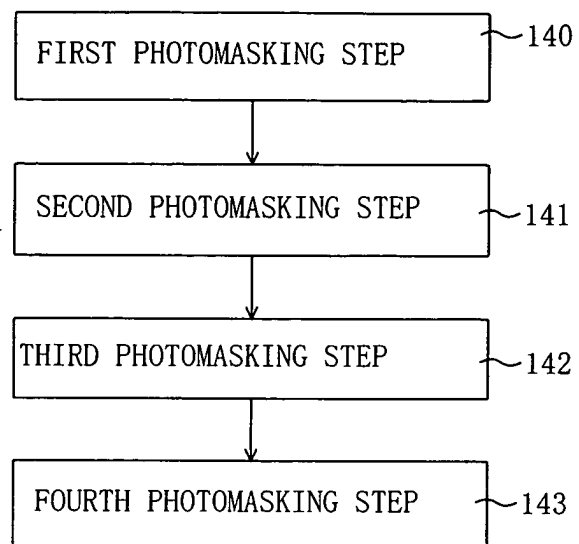


Fig. 4

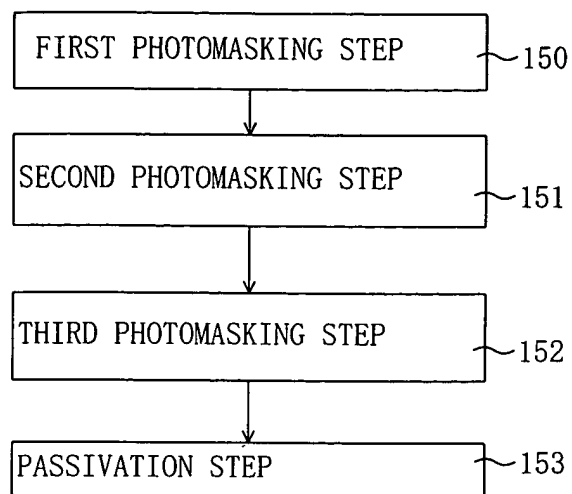


Fig. 5

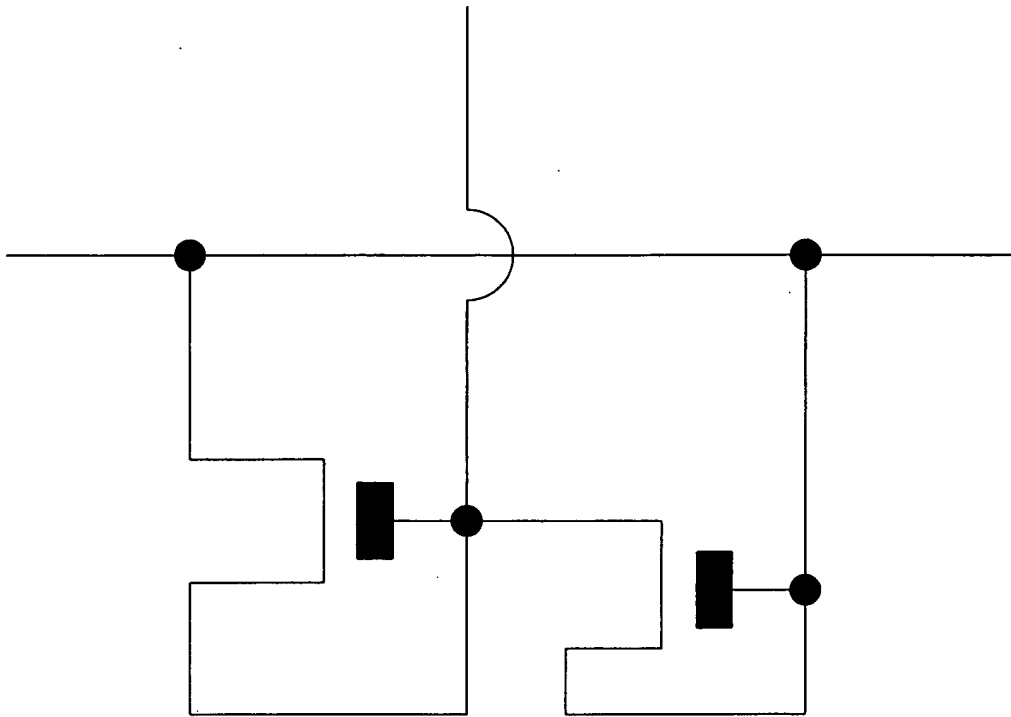


Fig. 6

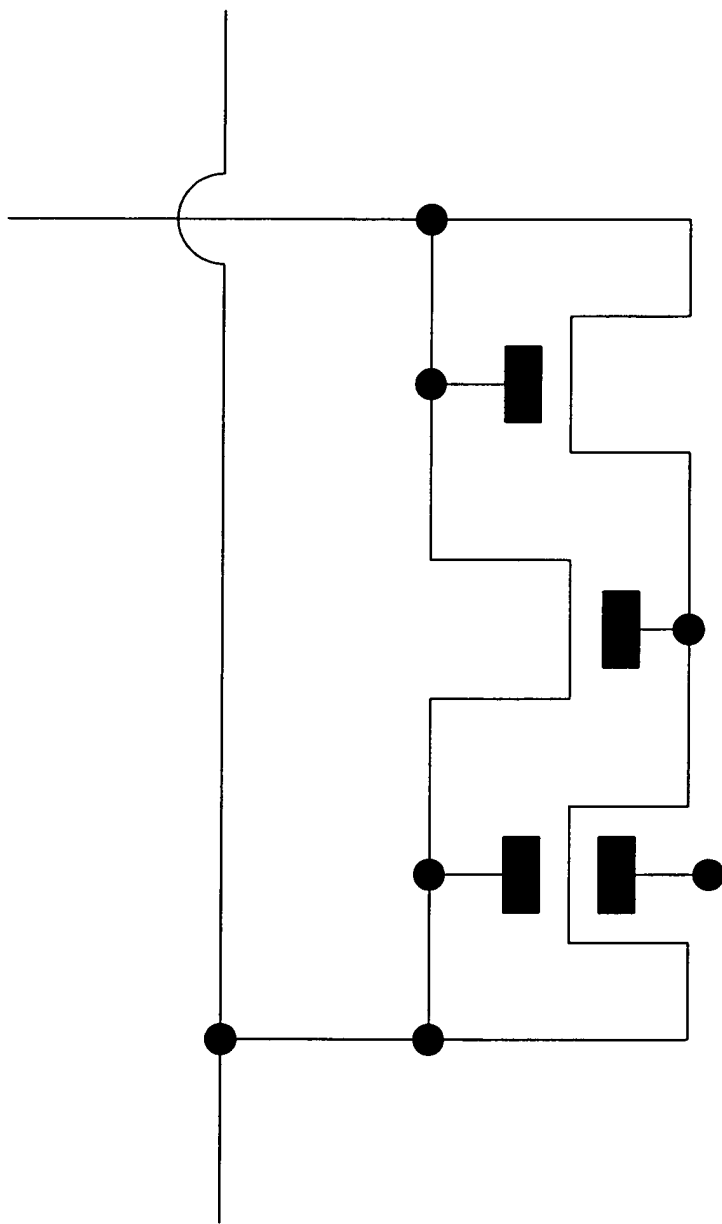


Fig. 7

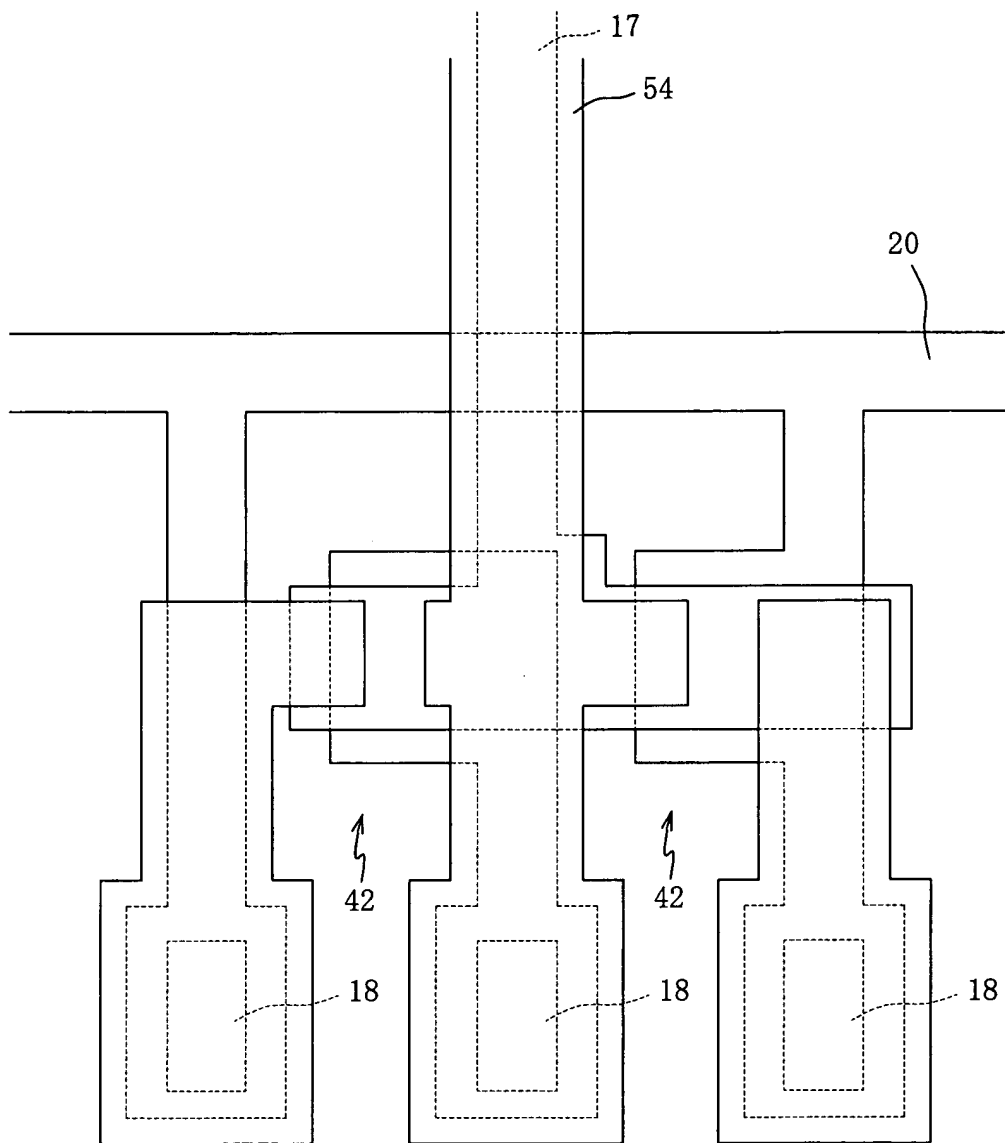


Fig. 8

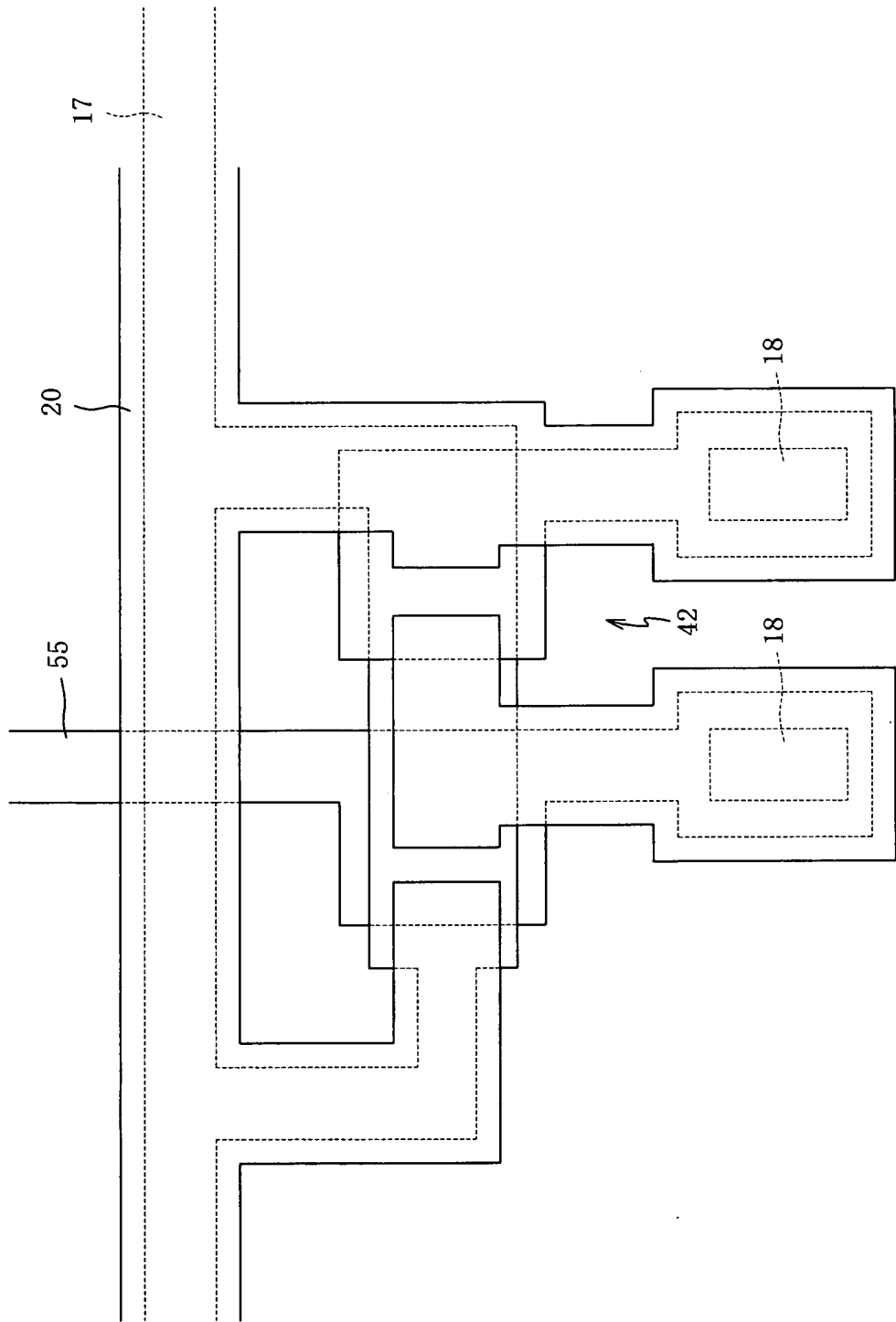


Fig. 9

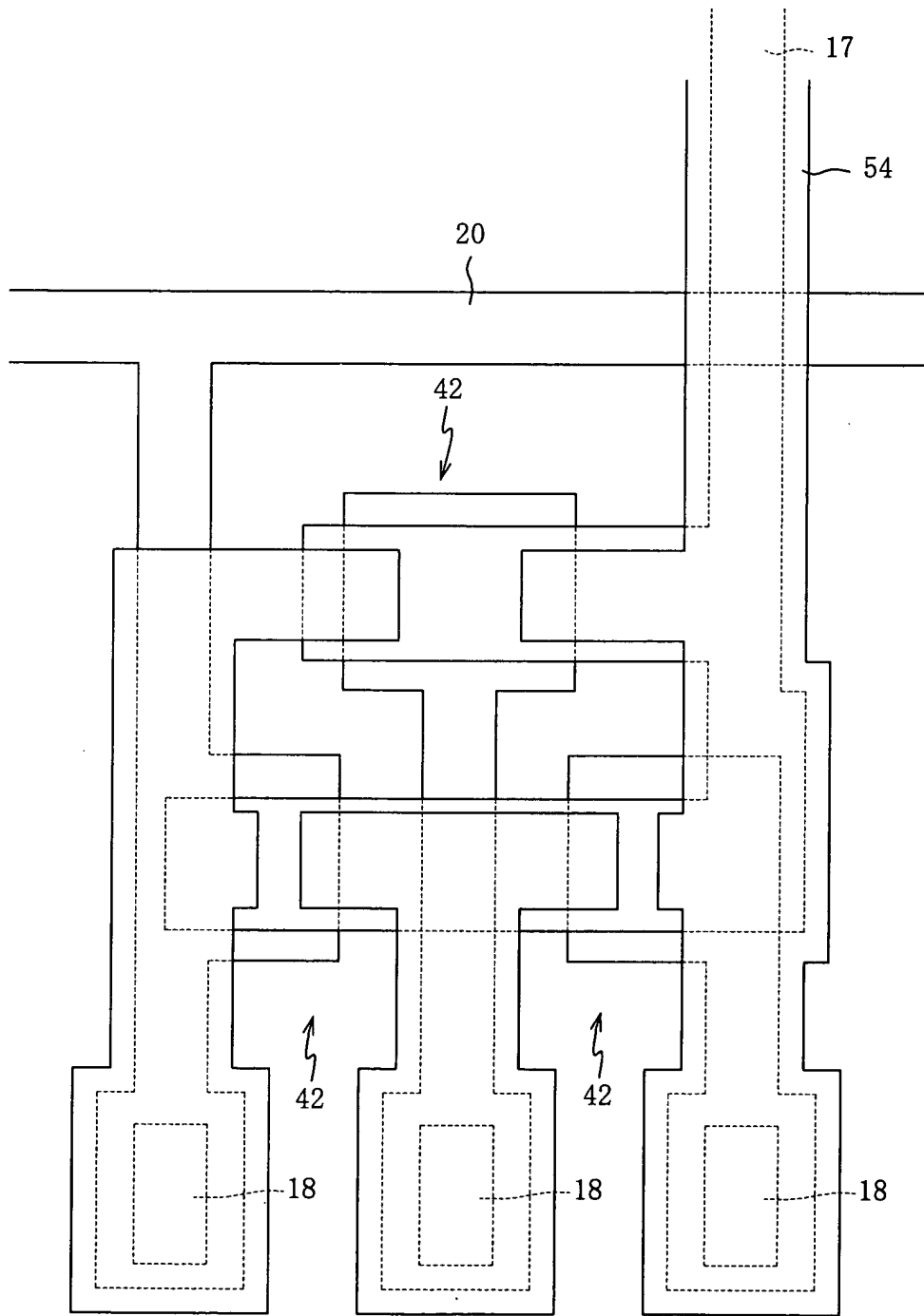


Fig. 10

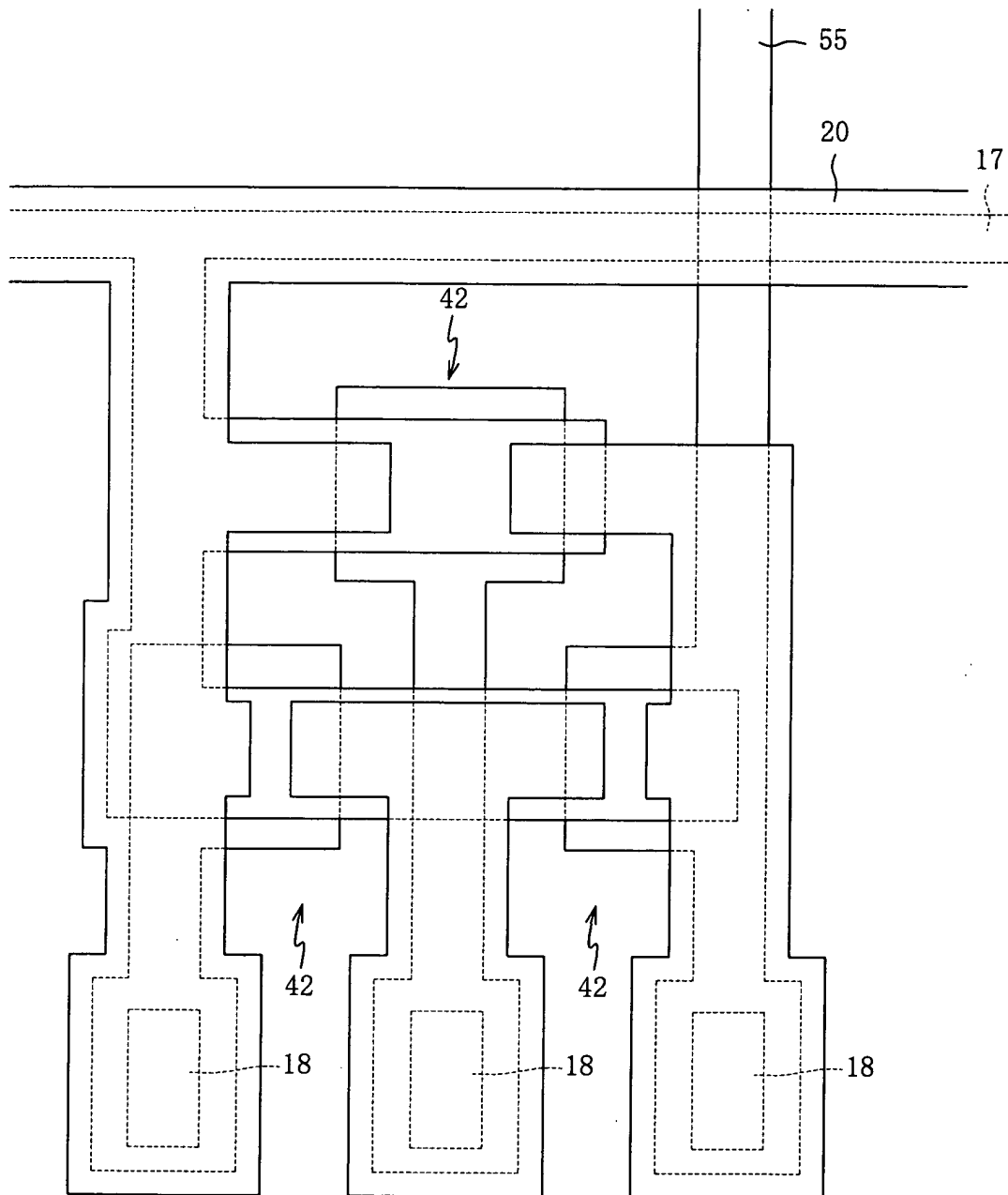


Fig. 11A

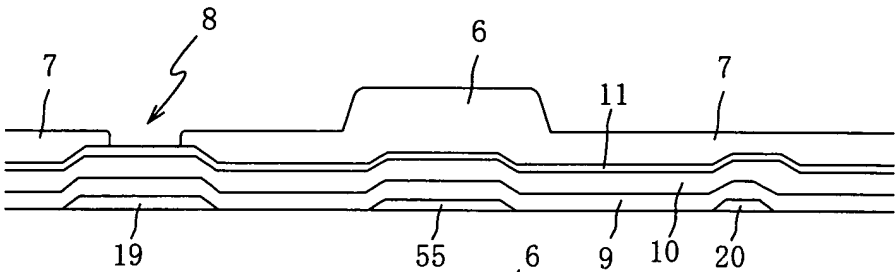


Fig. 11B

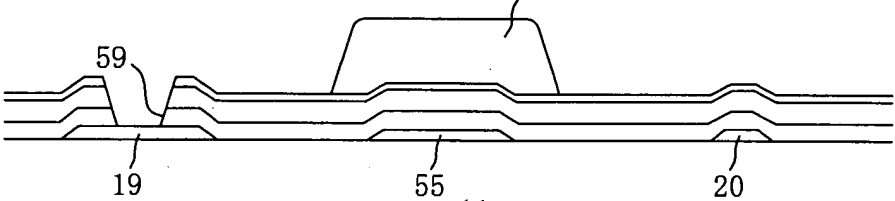


Fig. 11C

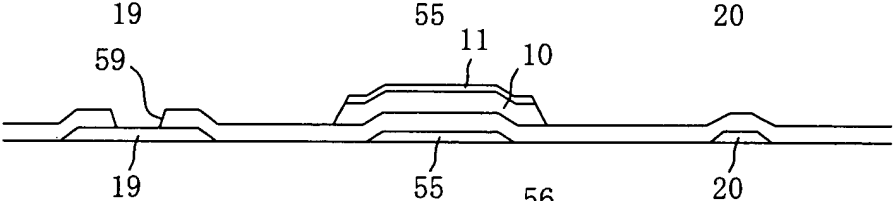


Fig. 11D

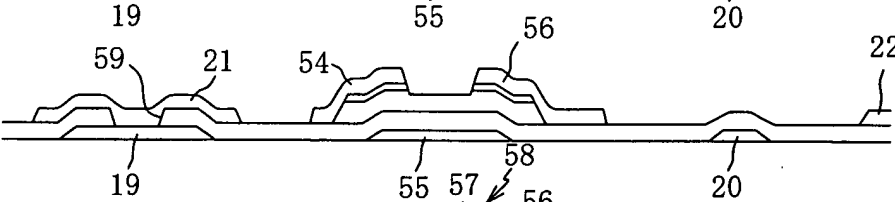


Fig. 11E

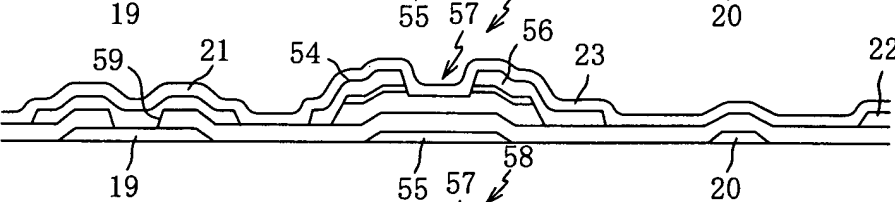


Fig. 11F

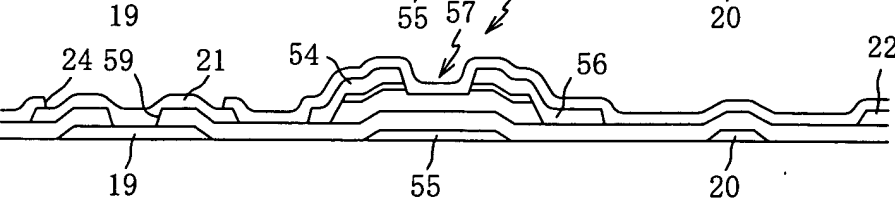


Fig. 12A

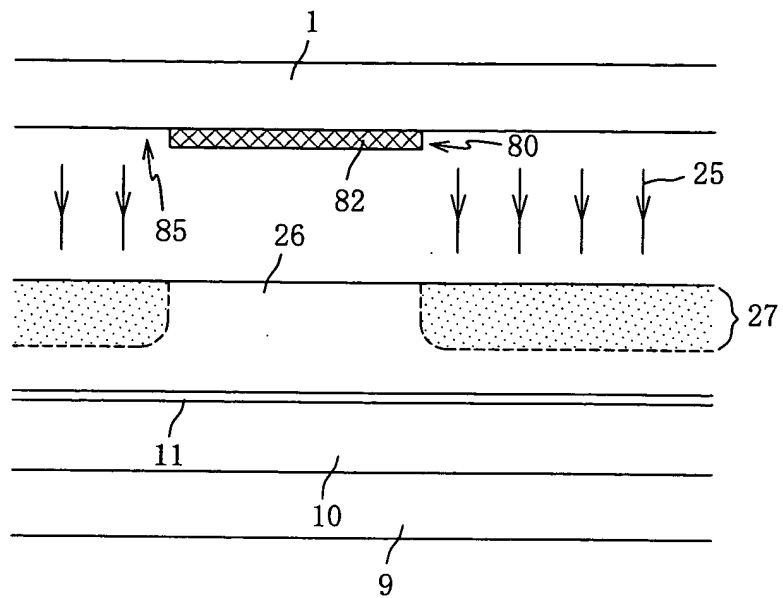


Fig. 12B

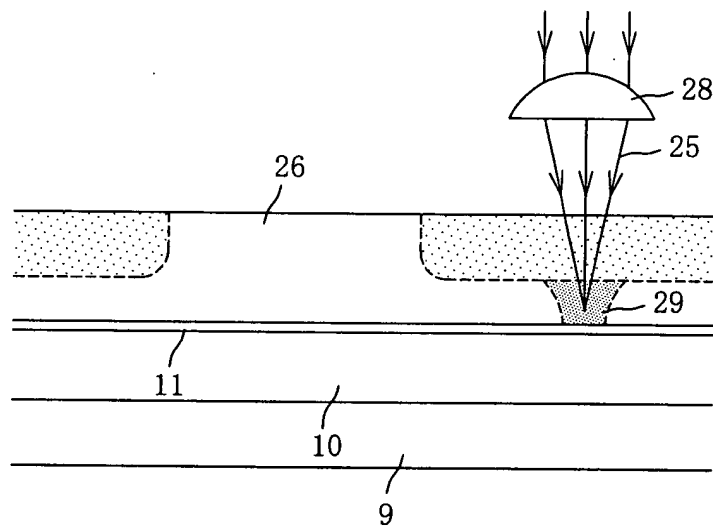


Fig. 12C

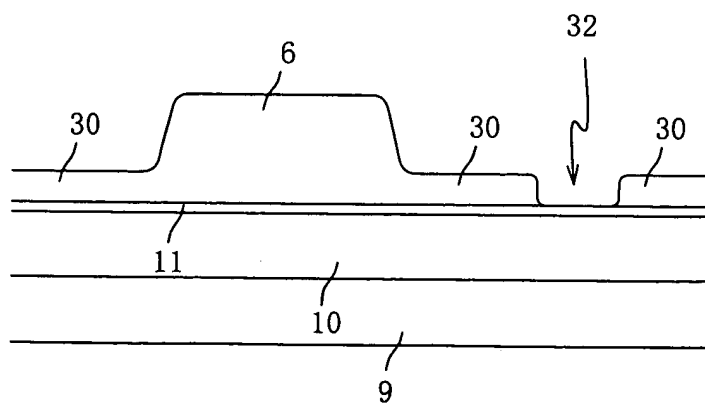


Fig. 13

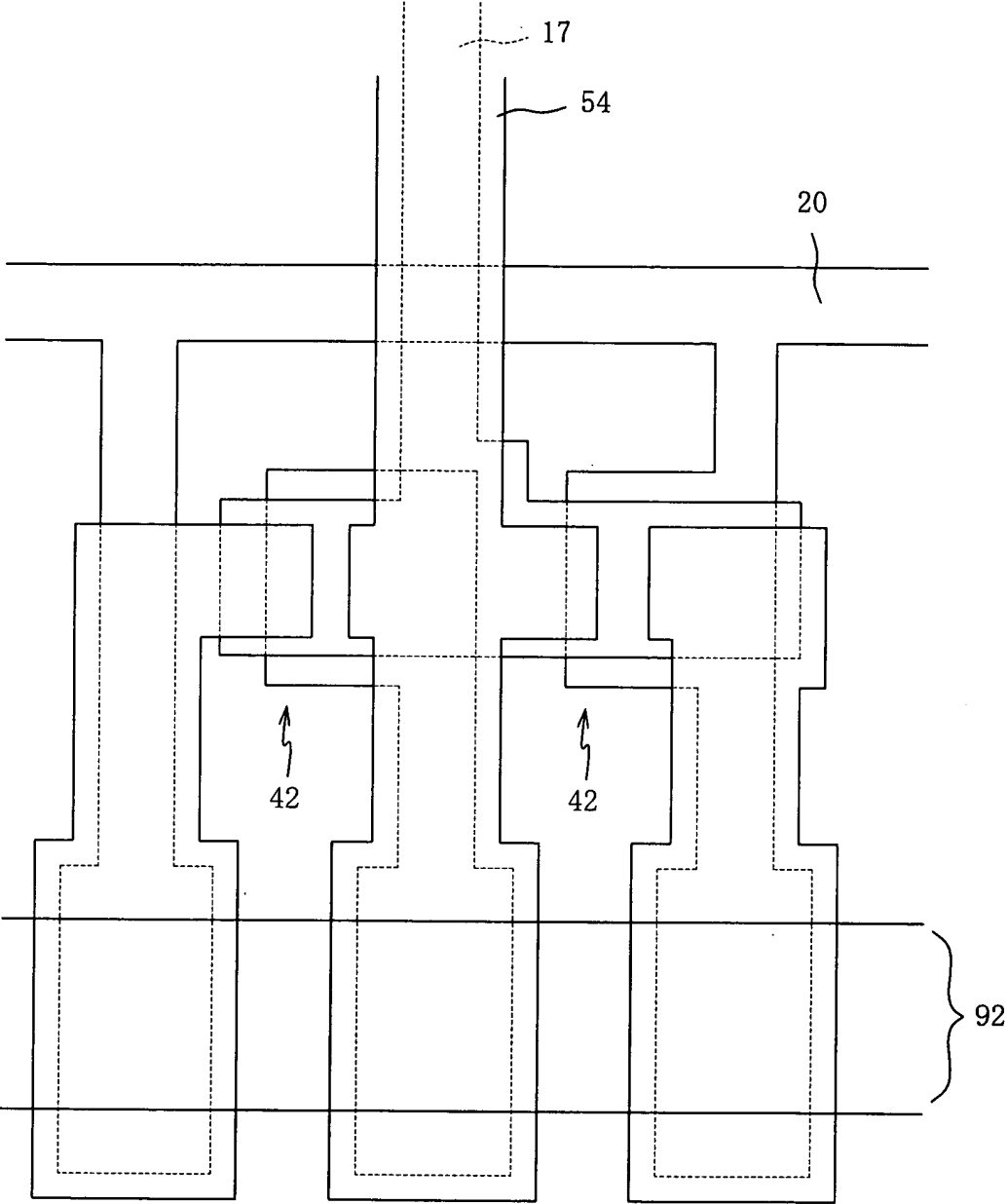


Fig. 14

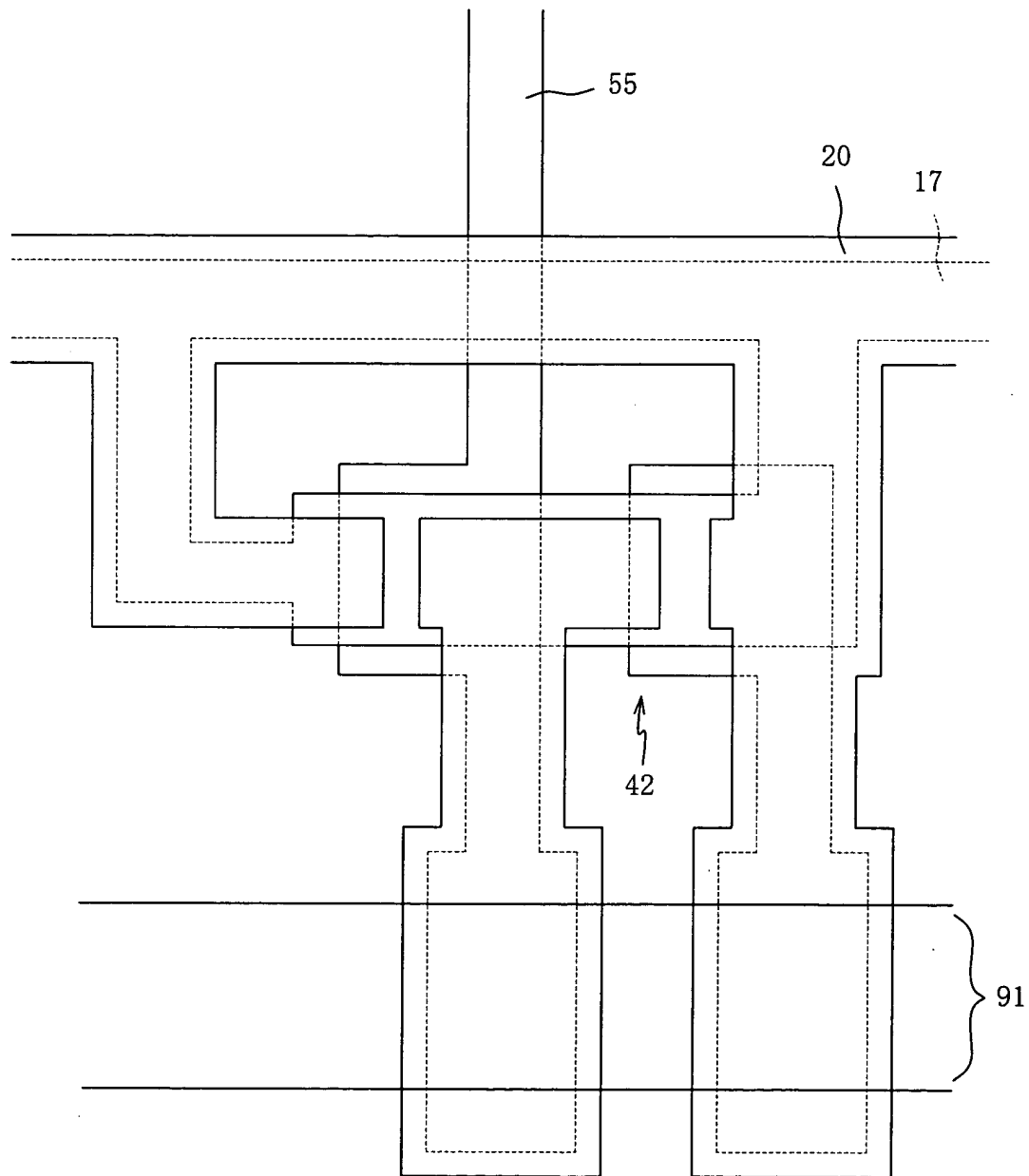


Fig. 15A

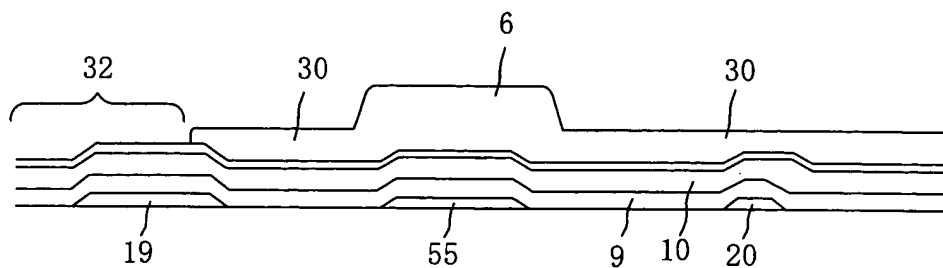


Fig. 15B

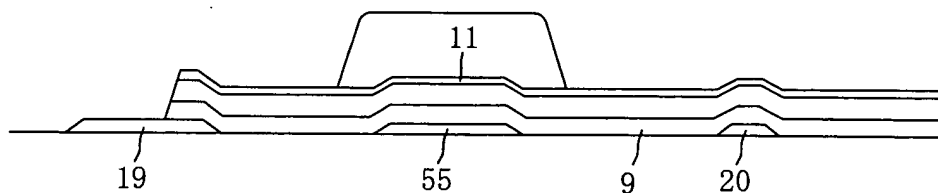


Fig. 15C

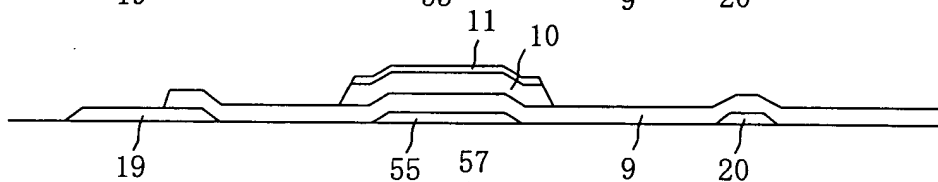


Fig. 15D

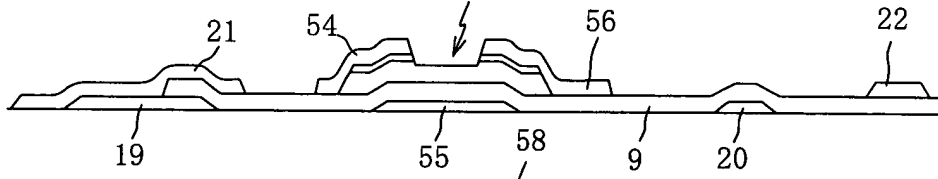
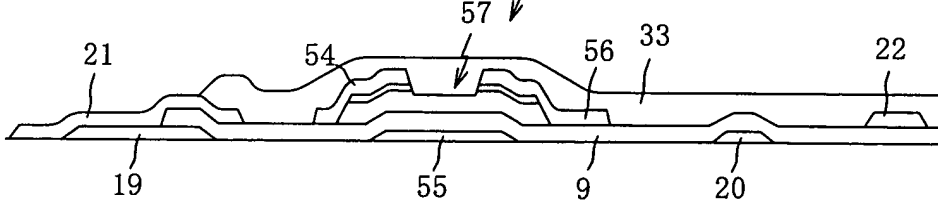


Fig. 15E



Fi. 16

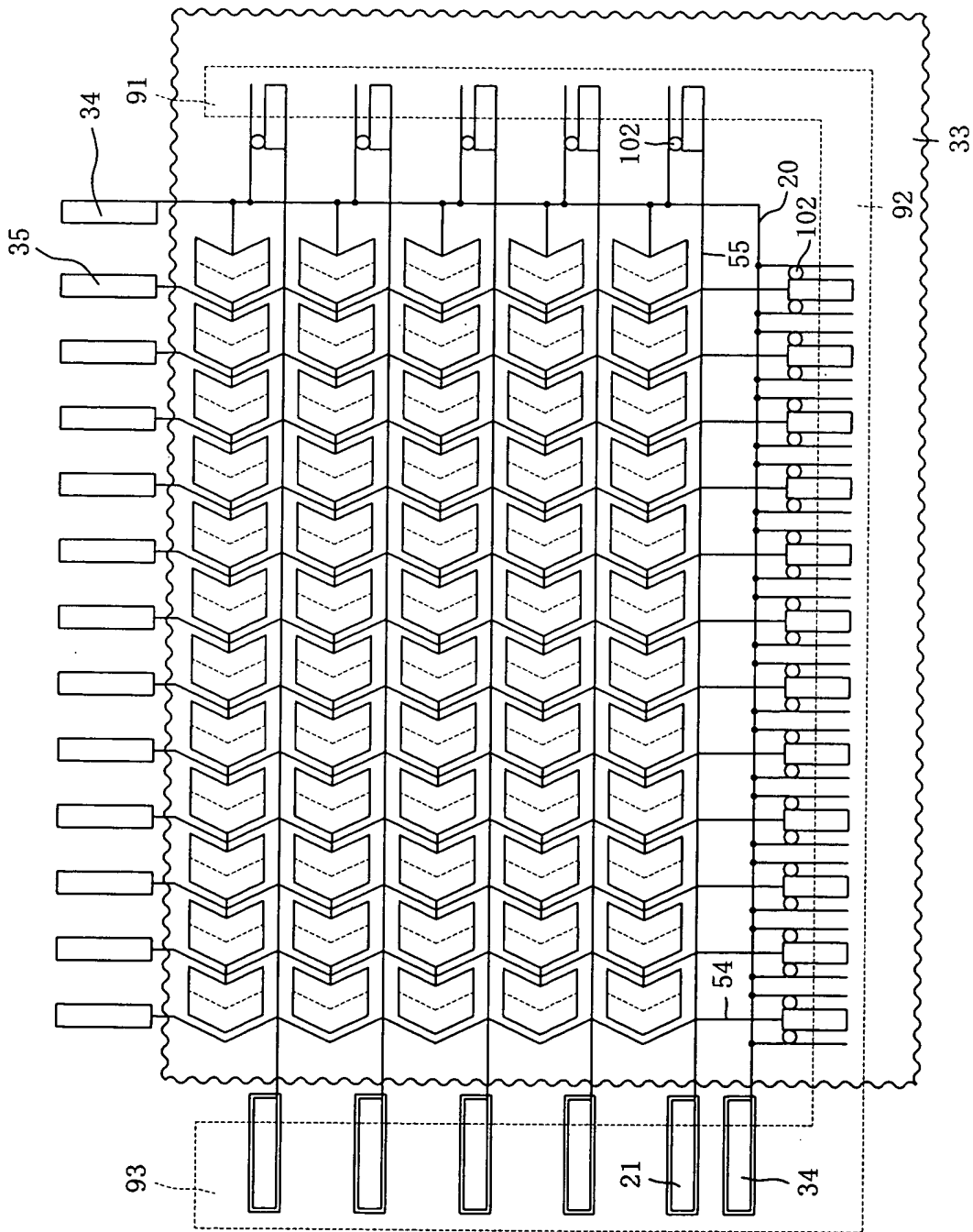


Fig. 17

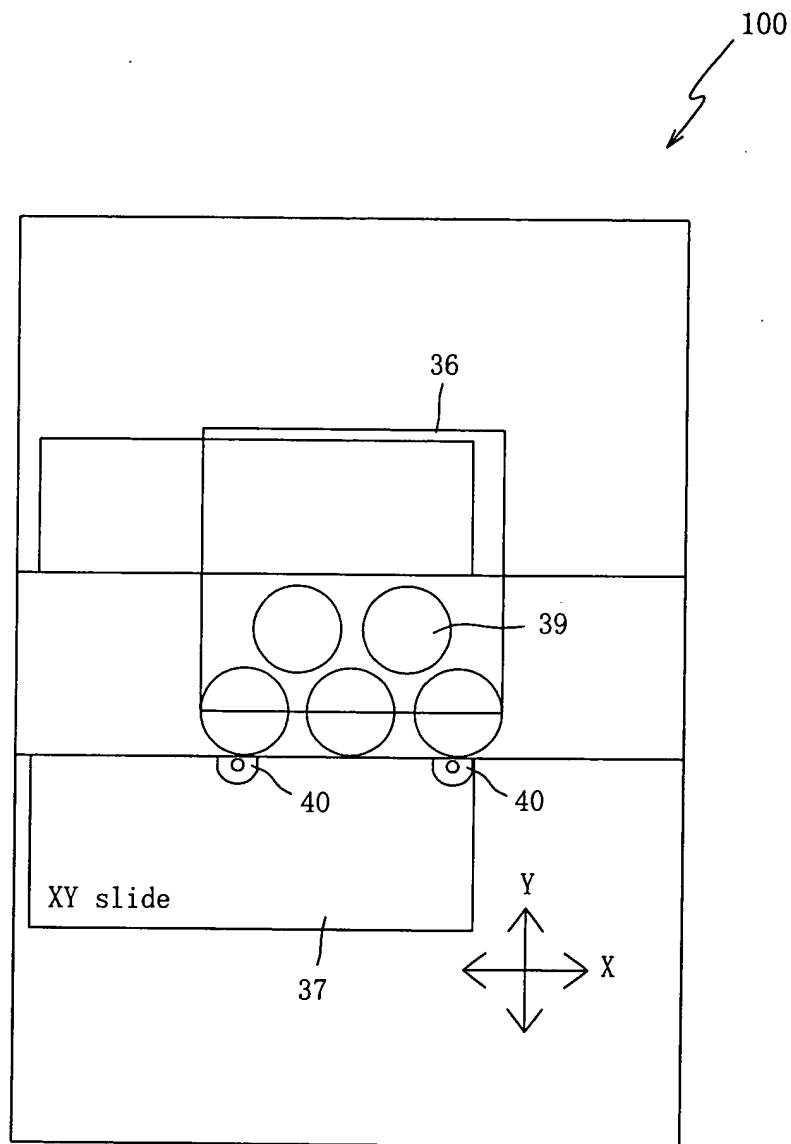


Fig. 18

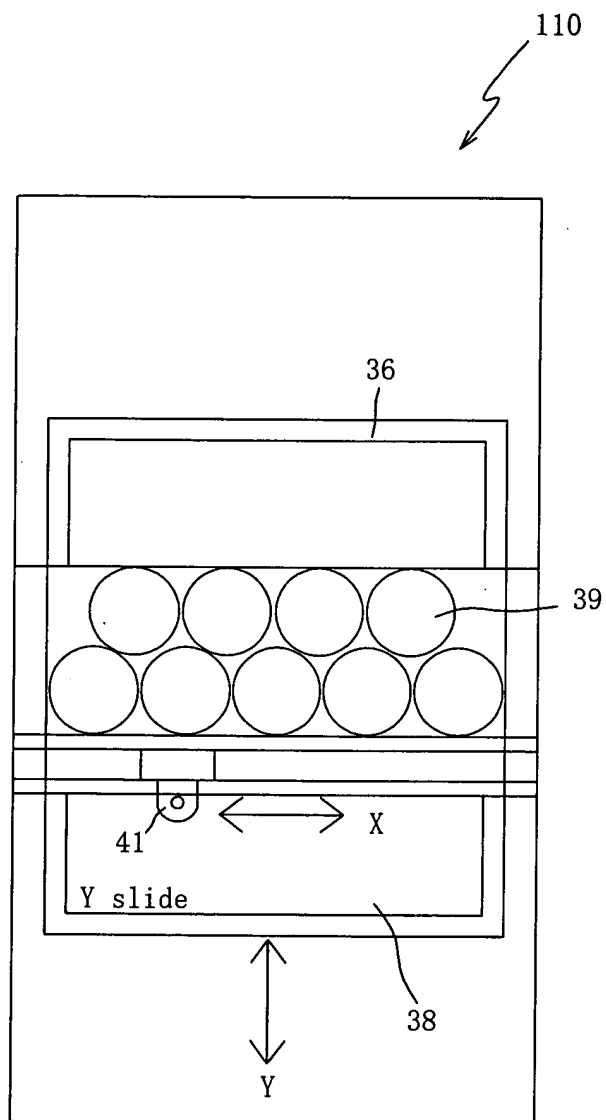


Fig. 19

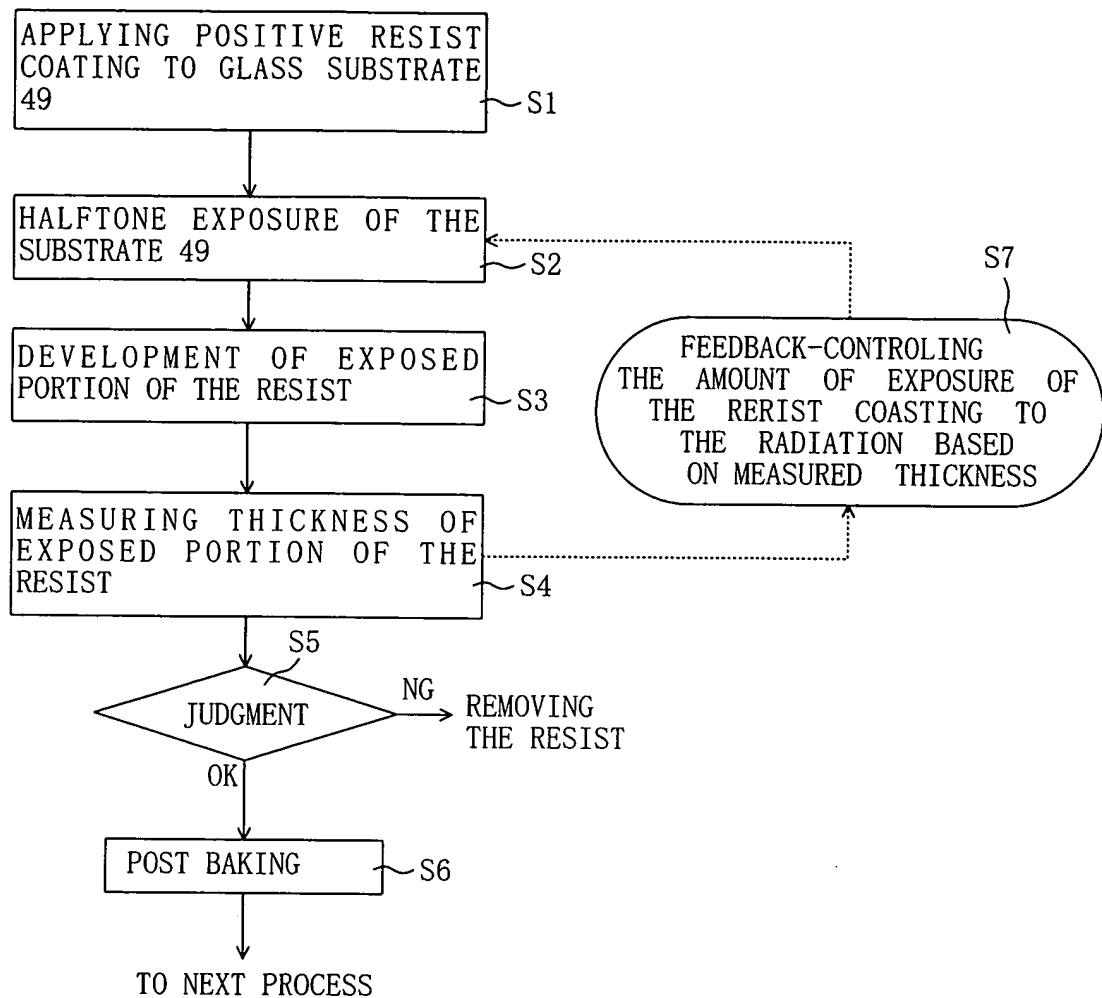


Fig. 20

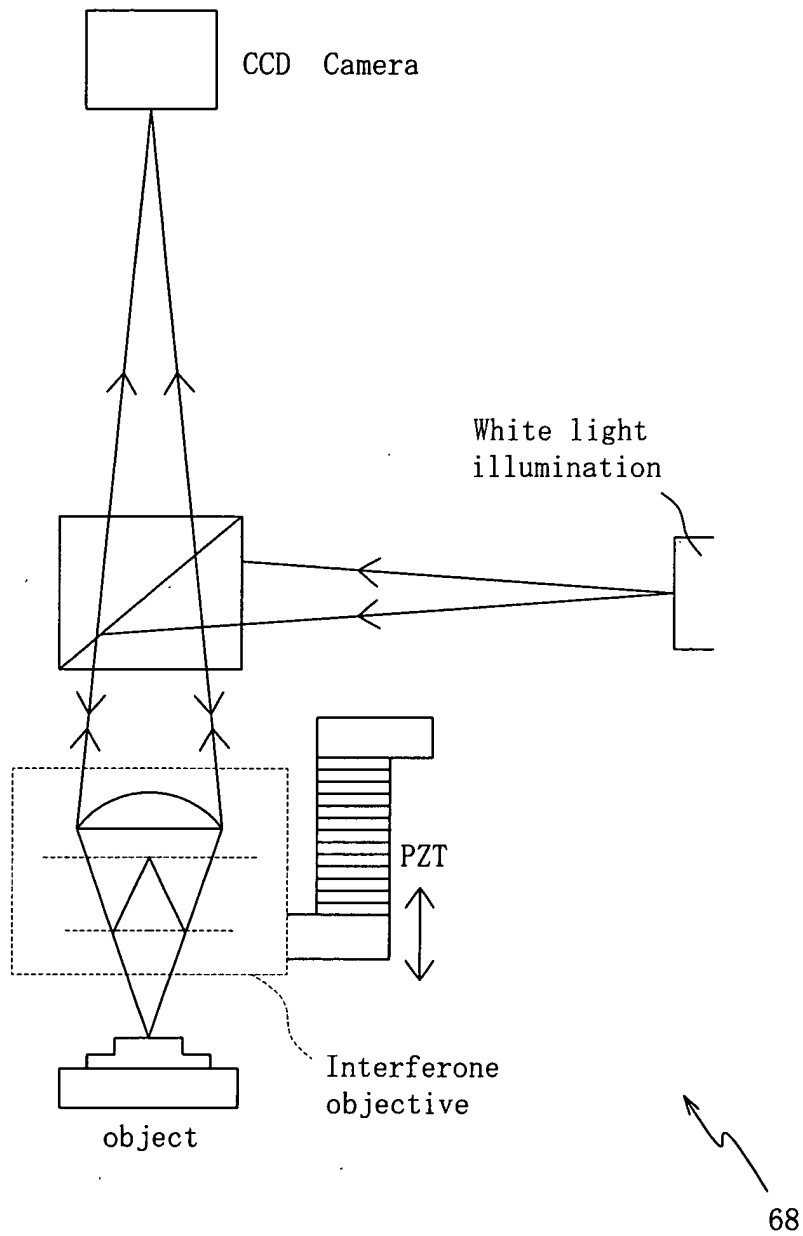
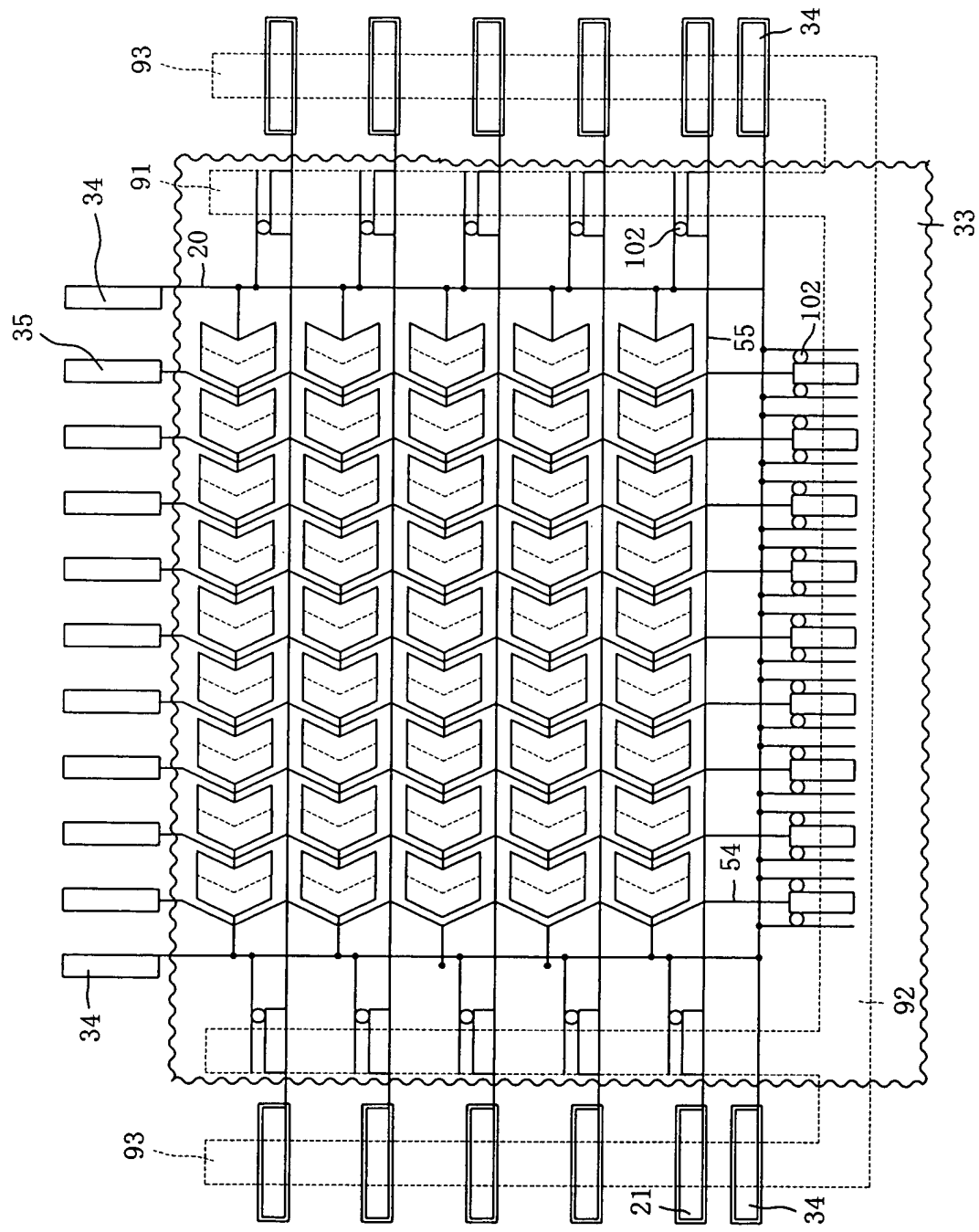
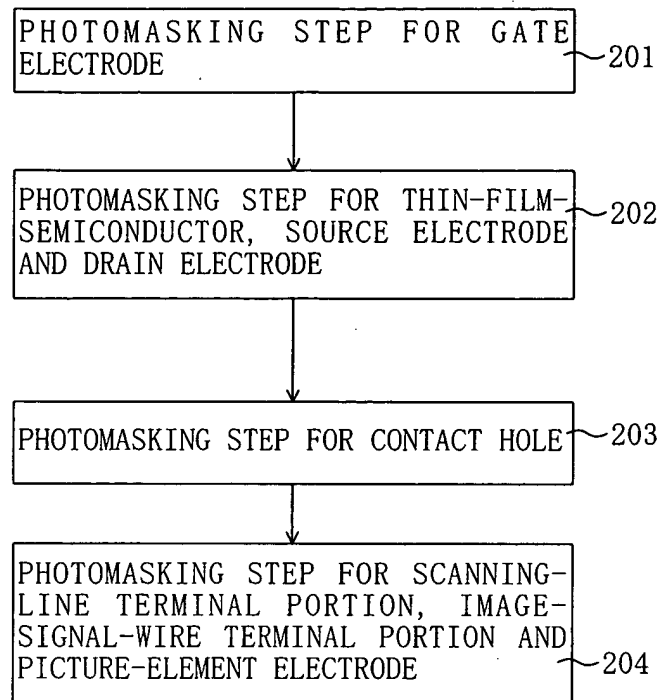


Fig. 21



F i g . 22



PRIOR ART

Fig. 23

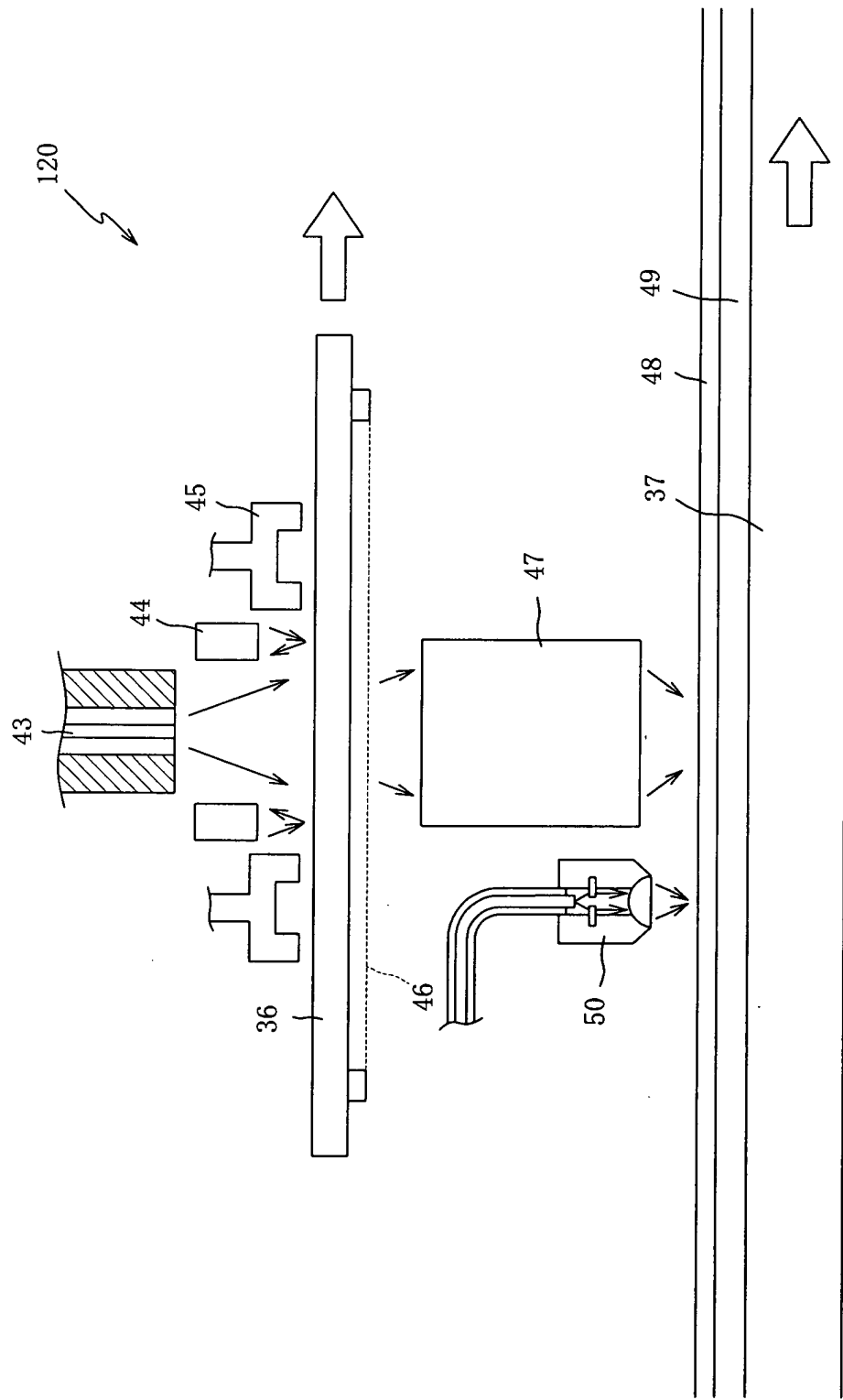


Fig. 24

